

铁(III)-丙酮酸盐配合物光解引发水中铬(VI)还原^{*}

封享华^{1,2} 陈世敏^{1,2} 吴 峰¹ 邓南圣^{1*} Nikolai Bazhin³

(1 武汉大学环境科学系, 武汉, 430072; 2 重庆涪陵师范学院化学及环境科学系, 重庆, 408003)

3 Institute of Chemical Kinetics and Combustion, ul. Institutskaya 3, Novosibirsk 630090 Russia)

摘要 初步研究了含有 Fe(III) 及丙酮酸盐的溶液在高压汞灯照射下对铬(VI)的光还原反应。考察了溶液 pH 值、Fe(III)浓度、丙酮酸钠浓度、Cr(VI)浓度对反应的影响。分析了光还原反应的动力学及反应机制。结果表明: 铁-丙酮酸盐体系能光还原 Cr(VI); 最佳 pH 为 3.0。Cr(VI)光还原的初始速率随着加入的铁(III)、丙酮酸盐、Cr(VI)初始浓度的增加而增加; 实验条件下的表观动力学方程为: $-dC_{Cr(VI)} / dt = 0.021 [Cr(VI)]^{0.39} [Fe(III)]^{1.05} [CH_3COONa]^{0.39}$; Fe(III)-丙酮酸盐配合物光解产生的 Fe(II)是 Cr(VI)的主要还原剂。

关键词 铬, 丙酮酸盐, 铁, 光还原。

近年来, 光催化还原铬(VI)的研究已广泛开展。主要使用的催化剂是金属氧化物半导体, 如 TiO₂、ZnO 等等。Khalil 等^[1]用 ZnO 对 Cr(VI) 进行光催化还原, 结果表明: 光还原率随着 pH 值的降低而升高。Fu 等^[2]用 TiO₂ 吸附还原 Cr(VI), 详细研究了 pH 值、催化剂用量、Cr(VI) 的初始浓度等因素对还原率的影响。此外, Hug 等研究了铁-草酸盐配合物、铁-柠檬酸盐配合物对 Cr(VI) 的光还原, 认为中间产物 Fe(II)、HO₂·/O₂· 及 H₂O₂ 是 Cr(VI) 的还原剂, 反应产物主要是可溶性的 Cr(III) 草酸盐及 Cr(III) 柠檬酸盐^[3]。Zhang 等^[4]报道了 Fe(III) 羟基配合物对 Cr(VI) 的光还原, 他们认为其主要反应机理是 Fe(III)-OH 配合物在光照下产生羟基自由基, 同时生成 Fe(II), 而 Fe(II) 被 Cr(VI) 重新氧化为 Fe(III), 至此, 形成了 Fe(II)-Fe(III) 之间的氧化还原循环, 从而使铬不断被还原。

本文讨论了铁-丙酮酸盐体系中各种因素, 如 pH 值、铁(III)、丙酮酸盐、铬(VI) 初始浓度对铬(VI)还原效率的影响, 初步研究了在铁-丙酮酸盐体系中铬的还原动力学。并对还原机理进行了探讨。实验证明, 在 Fe(III) 的存在下, 丙酮酸盐对铬(VI) 的还原效果显著。

1 实验部分

1.1 仪器及试剂

UV-1601 紫外-可见分光光度计(日本, Shimadzu), pH S-3C 精密酸度计(武汉精密仪器厂)。

FeCl₃·6H₂O, K₂C₂O₇, CH₃COONa 二苯碳酰二肼皆为 AR 级。实验用水为二次蒸馏水。

1.2 实验方法

配制一定浓度 Cr(VI)、Fe(III) 和丙酮酸钠的水溶液, 以 HCl 及 NaOH 调节 pH 值, 分装入 8 支 10 mL 玻璃比色试管至刻度, 置于同心圆光反应支架上^[5], 用 125 W 高压汞灯照射(试管表面光照强度为 2.7×10^4 Lux) 上述溶液, 间隔一定时间取样, 用二苯碳酰二肼比色法测定残余的 Cr(VI) 浓度^[6]。分别考察不同 pH 值、Fe(III)、丙酮酸钠和 Cr(VI) 初始浓度对 Cr(VI) 光化学还原的影响。

2 结果与讨论

2.1 铁(III)-丙酮酸盐配合物对铬(VI)的光还原

在 $[Cr(VI)]_0 = 19.2 \mu\text{mol} \cdot \text{L}^{-1}$, $[Fe(II)]_0 = 10.0 \mu\text{mol} \cdot \text{L}^{-1}$, $[CH_3COONa]_0 = 120 \mu\text{mol} \cdot \text{L}^{-1}$ 条件下, Cr(VI) 溶液中加入 Fe(III) 接受光照及在 Cr(VI) 溶液中加入 Fe(III) 和丙酮酸盐的暗反应都不能引起 Cr(VI) 的还原。当 Cr(VI) 溶液中只加入丙酮酸盐时, 光照 20 min Cr(VI) 浓度仅降低了

2004 年 8 月 9 日收稿。

* 国家自然科学基金(20177017);中俄(NSFC-RFBR)协议(2004—2005)资助项目。**联系人, E-mail nsdeng@whu.edu.cn

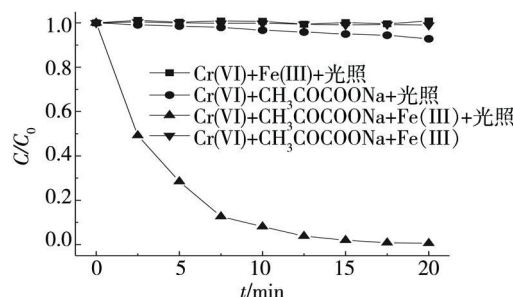


图 1 对照实验

Fig. 1 Reduction efficiency change of Cr (VI) in the control experiment

7.2%，而在 Cr(VI) 溶液中加入 Fe(III) 和丙酮酸盐，光照 20min 反应显著，Cr(VI) 浓度降低了 99.4% (图 1)。

Zhang 等^[4]研究了铁羟基配合物对 Cr(VI) 的光还原，其主要的反应是铁羟基配合物在光照下产生 Fe^{2+} ，然后 Fe^{2+} 还原 Cr(VI)。在对照实验中，当只加入 Fe(III) 时，由于光照时间短 (< 20min)，并没有检测到 Cr(VI) 的浓度变化。

丙酮酸也易吸收 250—400nm 范围内的光，能发生一定程度的光解，产生一些还原性自由基，如 $\text{CH}_3\text{CO}\cdot$ 和 $\cdot\text{COOH}$ 等^[77]。当 Cr(VI) 溶液中只加入丙酮酸盐时，光照 20min Cr(VI) 浓度降低了 7.2%，这可能和这些还原性自由基的存在有关。

对照实验结果还表明，在本实验条件下 Cr(VI) 的还原不能通过热反应来实现，只有在光的引发下才能发生，而且光还原的显著发生是 Fe(III) 和丙酮酸盐共同作用的结果。

2.2 初始 pH 值对 Cr(VI) 光还原的影响

反应的快慢取决于氧化剂的氧化能力和还原剂的还原能力。酸度的增大会增大 Cr(VI) 的电极电势，因此，在一些 Cr(VI) 光还原的研究中，呈现了一种随 pH 值降低 Cr(VI) 光还原率增大的规律^[1]。在本实验中，这种规律并没有出现 (图 2)，而是在 pH 值为 3.0 时，Cr(VI) 的还原率出现一个峰值 (99.4%)。这一结果表明 pH 值不仅影响着 Cr(VI) 的氧化能力，也影响着还原剂的还原能力。

2.3 Fe(III) 浓度的影响

由图 3 可知，Fe(III) 的浓度对 Cr(VI) 的光还原速率有极大影响。Cr(VI) 的还原速率随着 Fe(III) 浓度的增加而增大。当 $[\text{Fe(III)}]_0 = 1.25 \mu\text{mol} \cdot \text{l}^{-1}$ 时，光照 16min，Cr(VI) 的还原速率为 31.0%；当 $[\text{Fe(III)}]_0 = 20.0 \mu\text{mol} \cdot \text{l}^{-1}$ 时，光照 12min，Cr(VI) 的还原速率为 100%。

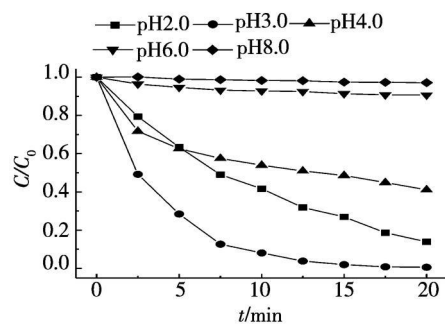


图 2 pH 值对 Cr(VI) 光还原率的影响

$[\text{Cr(VI)}]_0 = 19.2 \mu\text{mol} \cdot \text{l}^{-1}$, $[\text{Fe(III)}]_0 = 10 \mu\text{mol} \cdot \text{l}^{-1}$
 $[\text{CH}_3\text{COCOONa}]_0 = 120 \mu\text{mol} \cdot \text{l}^{-1}$

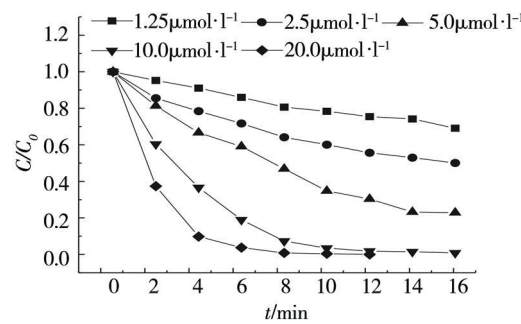
Fig. 2 Effect of pH on reduction efficiency of Cr (VI)

图 3 Fe(III) 浓度对 Cr(VI) 光还原率的影响

$\text{pH} = 3.0$, $[\text{Cr(VI)}]_0 = 19.2 \mu\text{mol} \cdot \text{l}^{-1}$,
 $[\text{CH}_3\text{COCOONa}]_0 = 120 \mu\text{mol} \cdot \text{l}^{-1}$

Fig. 3 Effect of Fe(III) concentration on reduction efficiency of Cr(VI)

2.4 丙酮酸盐浓度的影响

图 4 显示了不同初始浓度的丙酮酸盐对 Cr(VI) 光还原的影响。丙酮酸盐浓度在 60—960 $\mu\text{mol} \cdot \text{l}^{-1}$ 范围内，Cr(VI) 还原率随丙酮酸盐浓度的增大而增大。 $[\text{CH}_3\text{COCOONa}]_0 = 60 \mu\text{mol} \cdot \text{l}^{-1}$ 时，Cr(VI) 还原率为 61.0%，而 $[\text{CH}_3\text{COCOONa}]_0 = 960 \mu\text{mol} \cdot \text{l}^{-1}$ 时，Cr(VI) 还原率为 99.7%。

2.5 Cr(VI) 初始浓度的影响

Cr(VI) 的还原率随着 Cr(VI) 初始浓度的增加而降低 (图 5)，当 $[\text{Cr(VI)}]_0 = 9.6 \mu\text{mol} \cdot \text{l}^{-1}$ 时，

Cr(VI)还原率为95.8%，而 $[Cr(VI)]_0=96.2\mu mol\cdot l^{-1}$ 时，Cr(VI)还原率仅为35.3%。

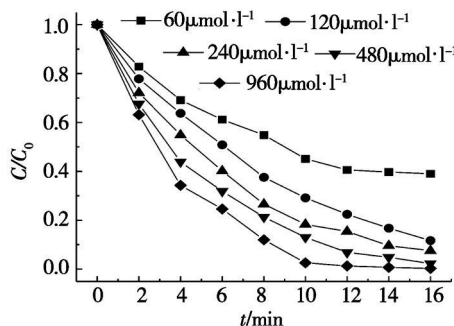


图4 丙酮酸盐浓度对Cr(VI)光还原率的影响

$$[Cr(VI)]_0 = 19.2 \mu mol\cdot l^{-1}$$

$$pH = 3.0 \quad [Fe(III)]_0 = 5.0 \mu mol\cdot l^{-1}$$

Fig. 4 Effect of pyruvate concentration on reduction efficiency of Cr(VI)

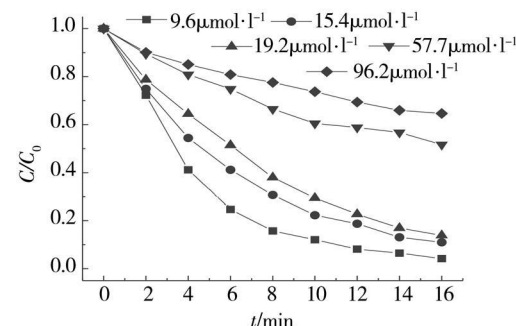


图5 Cr(VI)浓度对Cr(VI)光还原率的影响

$$[CH_3COOCOONa]_0 = 120 \mu mol\cdot l^{-1}$$

$$[Fe(III)]_0 = 5.0 \mu mol\cdot l^{-1}, \quad pH = 3.0$$

Fig. 5 Effect of Cr(VI) concentration on reduction efficiency of Cr(VI)

2.6 Cr(VI)光还原动力学分析

将2.3节光还原过程中Cr(VI)浓度 C 随光照时间 t 的变化,按方程 $C=A+B\exp(-t/C)$ 拟合,并按 $V_0=B/C$ 计算Fe(III)不同初始浓度下的反应初始速率 $V_0(\mu mol\cdot l^{-1}\cdot min^{-1})$,再将 V_0 与Fe(III)的初始浓度按 $V_0=a[Fe(III)]_0^b$ 拟合,得到 $[Cr(VI)]_0=19.2\mu mol\cdot l^{-1}$, $pH=3.0$ $[CH_3COOCOONa]=120\mu mol\cdot l^{-1}$ 条件下,Fe(III)浓度影响的表观动力学方程为: $-dC_{Cr(VI)}/dt=0.44[Fe(III)]^{1.05}$ 。

按上述数学处理方法对2.4节和2.5节进行处理,可得 $[Cr(VI)]_0=19.2\mu mol\cdot l^{-1}$, $pH=3.0$ $[Fe(III)]=5.0\mu mol\cdot l^{-1}$ 条件下丙酮酸盐浓度影响的表观动力学方程为: $-dC_{Cr(VI)}/dt=0.36[CH_3COOCOONa]^{0.39}$; $[CH_3COOCOONa]=120\mu mol\cdot l^{-1}$ 、 $[Fe(III)]=5.0\mu mol\cdot l^{-1}$ 、 $pH=3.0$ 条件下Cr(VI)浓度影响的表观动力学方程为: $-dC_{Cr(VI)}/dt=0.65[Cr(VI)]^{0.39}$ 。

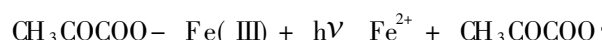
将上述2.3节—2.5节中的实验数据按 V_0 对 $[Cr(VI)]^{0.39}[Fe(III)]^{1.05}[CH_3COOCOONa]^{0.39}$ 进行线性拟合,得到

H=3.0

条件下,Cr(VI)光还原的表观动力学方程为: $-dC_{Cr(VI)}/dt=0.021[Cr(VI)]^{0.39}[Fe(III)]^{1.05}[CH_3COOCOONa]^{0.39}$,($r^2=0.9834$, $n=15$)。从该方程可以看出,Cr(VI)光还原的初始速率都随各影响因子浓度的增大而增大,但改变的幅度差异很大。Fe(III)的反应级数(1.05)最大,Cr(VI)和CH₃COOCOONa的反应级数(都为0.39)最小,因此,Fe(III)是影响反应速率的主要因素。Cr(VI)的光还原处理中,可以适当提高Fe(III)浓度,减少CH₃COOCOONa用量。

2.7 光还原机理

在Fe(III)-丙酮酸盐体系中,对照实验的结果表明,能充当Cr(VI)还原剂的不是丙酮酸盐,丙酮酸盐光解后产生的还原性自由基也不是主要的还原剂。在实验条件下,铁羟基配合物光解产生亚铁离子的反应几乎可以忽略。因此,可以推论,Fe(III)-丙酮酸盐配合物光解产生的Fe(II)是还原Cr(VI)的主要还原剂。



从前面计算得出的表观动力学方程也可以看出,Fe(II)的反应级数为1.05,而铬和丙酮酸盐都只有0.39,说明Fe(III)浓度是影响光还原的主要因素,进一步说明Fe(II)是Cr(VI)的主要还原剂。

归纳前面的分析及前人的研究结果,Fe(III)-丙酮酸盐配合物光还原Cr(VI)的可能机制是:(1)Fe(III)-丙酮酸盐配合物自身光解产生的Fe(II),实现对Cr(VI)的还原,Fe(II)被氧化为Fe(III),实现了Fe(III)/Fe(II)的循环,加快了反应的进行,因而可在较低的Fe(III)浓度下,完成对Cr(VI)的还原,这一途径是Cr(VI)还原最主要的途径;(2)pH=3.0条件下丙酮酸直接光解产生的还原性自由基如CH₃CO[·]和·COOH等对Cr(VI)的还原;(3)Fe(III)-丙酮酸盐配合物光解后,其次级光

化学反应产生的还原性自由基如 $\text{CH}_3\text{CO}\cdot$, $\text{O}_2^{\cdot-}$, $\text{HO}_2\cdot$, H_2O_2 等对 Cr(VI) 的还原.

3 结论

铁-丙酮酸盐能光还原 Cr(VI) , 在 $[\text{Cr(VI)}]_0 = 19.2 \mu\text{mol} \cdot \text{l}^{-1}$, $[\text{Fe(III)}]_0 = 20.0 \mu\text{mol} \cdot \text{l}^{-1}$, $[\text{CH}_3\text{COCOONa}]_0 = 120 \mu\text{mol} \cdot \text{l}^{-1}$, $\text{pH} = 3.0$ 的条件下, 125W 高压汞灯光照 12m in Cr(VI) 的还原率即可达到 100%; Cr(VI) 光还原的初始速率随着加入的铁(III)、丙酮酸盐、 Cr(VI) 初始浓度的增加而增加; 表观动力学方程为: $-dC_{\text{Cr(VI)}}/dt = 0.021 [\text{Cr(VI)}]^{0.39} [\text{Fe(III)}]^{1.05} [\text{CH}_3\text{COCOONa}]^{0.39}$; Fe(III) -丙酮酸盐配合物光解产生的 Fe(II) 是 Cr(VI) 的主要还原剂.

参 考 文 献

- [1] Khalil L B, Mourad W E, Rophad M W, Photocatalytic Reduction of Environmental Pollutant Cr(VI) over Some Semiconductors under UV/visible Illumination. *Appl Catal B: Environmental*, 1998, **17**: 267-273
- [2] Fu H, Lu G, Li S, Adsorption and Photo-Induced Reduction of Cr(VI) Ion in $\text{Cr(VI)}-\text{4CP(4-chlorophenoxy)Aqueous System}$ in the Presence of TiO_2 as Photocatalyst. *J Photochem. Photobiol A: Chem.*, 1998, **114** (31): 81-88
- [3] Hug S J, Laubscher H U, Iron(III)-Catalyzed Photochemical Reduction of Chromium(VI) by Oxalate and Citrate in Aqueous Solutions. *Environ Sci Technol*, 1997, **31**: 160-170
- [4] Zhang Z, Wu F, Deng N S, Photocatalytic Reduction of Cr(VI) in Aqueous Solutions Containing Fe(III)-Hydroxy Complexes. *Toxicol Environ Chem*, 2001, **82**: 129-137
- [5] Wu F, Deng N S, Zuo Y G, Discoloration of Dye Solutions Induced by Solar Photolysis of Ferrioxalate in Aqueous Solutions. *Chemosphere*, 1999, **39** (12): 2079-2085
- [6] 中国标准出版社第二编辑室编, 中国环境保护标准汇编. 水质分析方法. 北京: 中国标准出版社, 2001
- [7] Abdelwahid M Elbuki, Mu Y, On the Atmospheric Degradation of Pyruvic Acid in the Gas Phase. *J. Photochem. Photobiol A: Chem.*, 2003, **157**: 295-300

Cr() REDUCTION INDUCED BY THE PHOTOLYSIS OF IRON() - PYRUVATE COMPLEXES

FENG Xiang-hua^{1,2} DING Shimin^{1,2} WU Feng¹ DENG Nan-sheng¹ Nikolai Bazhin³

(1 College of Resources and Environmental Sciences, Wuhan University, Wuhan, 430072;

2 Department of Chemistry and Environmental Sciences, Fuling Normal University, Chongqing, 408003

3 Institute of Chemical Kinetics and Combustion, 11 Institutskaya 3, Novosibirsk 630090 Russia)

ABSTRACT

The photochemical reduction of Cr(VI) in aqueous solutions containing Fe(III)-pyruvate complexes was preliminarily investigated under a high-pressure mercury lamp. The effects of pH, the initial concentrations of Fe(III), pyruvate and Cr(VI) were also evaluated in details. The kinetics and mechanism of Cr(VI) photoreduction were analyzed. The result indicated that Cr(VI) could be photo-reduced by the iron(III)-pyruvate complexes system and the optimum pH for photo reduction of Cr(VI) was 3.0. The initial rates of Cr(VI) photoreduction increased with the increasing initial concentrations of Fe(III), pyruvate and Cr(VI) . Under the conditions tested, the apparent kinetics equation was $-dC_{\text{Cr}}/dt = 0.021 C_{\text{Cr}}^{0.39} C_{\text{Fe}}^{1.05} C_{\text{P}}^{0.39}$. Fe(II) generated by the photolysis of iron(III)-pyruvate complexes was the main reductant.

Keywords chromium, pyruvate, iron, photo reduction